

III-211 風化砂質土の応力履歴とせん断強さについて

大阪工業大学 正員 福田謙

1. まえがき

従来、砂のせん断強さは一般に応力履歴の影響を受けていたといわれていた。しかし、締固められたマサ土をはじめ火成岩系風化砂質土のせん断強さを考えるに際して、含水比および密度のみが重視されているのが現状である。しかるに、著者らが種々なせん断試験を行なってある過程において、この種の乱れ不飽和土のせん断強さは、応力履歴に大きく支配されることが判明したので報告する。また、この場合も飽和粘土と同じように正規圧密状態と過圧密状態に分けて取扱うことにする。

2. 試料および実験装置

1) 試料: マサ土(生駒B)は大阪府生駒山、流紋岩系風化砂質土(市之瀬A)は三田市、せん緑岩風化砂質土(花屋敷A)は川西市から採取した。各風化砂質土の粒径加積曲線を図-1に、そして基本的性質を表-1に示す。供試土は自然乾燥後、約1.5mの高さから落下調整し、2.0mm以下の粒子のものとした。

2) セン断試験機: 一面セン断試験機(せん断箱: 直径10cm, 高さ4cm)を用い、排気の条件で行なった。過圧密試験の場合はある荷重(先行荷重)まで載荷した後、所定の荷重まで除荷してせん断応力を測定した。

3. 実験結果とその考察

1) 正規圧密土: 図-3~7に示すように、含水比が一定であると破壊包絡線(T_{mf} 線)は原点を通る直線となり、強さは定数 c_0 ($C=0$)として表現できる。図-2に示すように、不飽和マサ土の中には $28\sim 30^\circ$ 、流紋岩系およびせん緑岩風化砂質土の中には、それぞれ約 $29^\circ\sim 35^\circ$ および $30^\circ\sim 34^\circ$ の値を示している。

2) 過圧密土: 図-3~5はマサ土の応力履歴とせん断応力の関係を、図-6および図-7は流紋岩系およびせん緑岩風化砂質土のそれを示したものである。各図からわかるように、過圧密土の破壊包絡線(T_{mf} 線)は各風化砂質土とともに上方に凸状の曲線となり、同じ値の垂直応力 σ において破壊せん断応力(T_{mf})は先行荷重 G が大きほど大きくなり、過圧密効果を知ることができる。

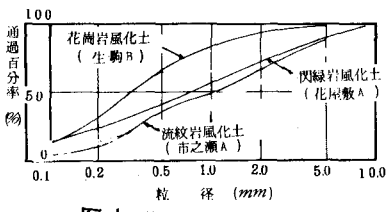


図-1 粒径加積曲線

表-1 自然含水比、粒度、比表面積、pHの試験結果

風化土名	花コウ形 風化砂質土	せん緑岩 風化砂質土	流紋岩 風化砂質土
試料名	生駒 B	花屋敷 A	市之瀬 A
粒径分の 組成	石英・長石 雲母・カオリ ナイト	長石・カオリ ナイト・イラ イト・ハロイ サイト	石英・長石 カオリナイト ・ハロイサイト ・モンモリ ロナイト
自然含水比 (%)	9.8	16.8	17.8
比表面積 G_s	2.65	2.67	2.65
pH	5.4	4.4	5.3
発熱減量	2.98	6.17	5.03

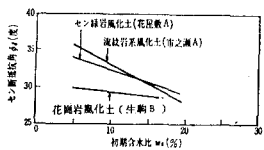


図-2 不飽和土の含水比とせん断抵抗角の関係
(正規圧密状態)

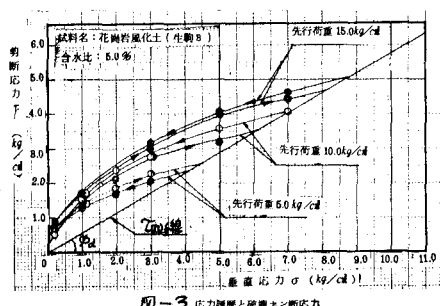


図-3 応力履歴と破壊せん断応力

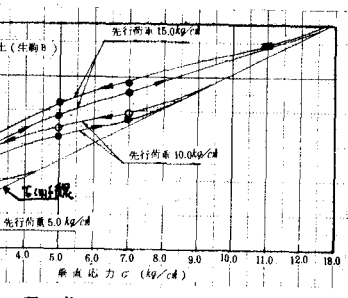


図-4 応力履歴と破壊せん断応力

果を知ることができる。例えば、図-3における実験結果をみると、 $w_i=2.0\%$ の場合の過圧密効果による T_{mf} の増加割合は、正規圧密土の破壊せん断応力(T_{mf})に対し、 $\sigma_0=5\text{kg}/\text{cm}^2$ では約1.6倍、 $\sigma_0=10\text{kg}/\text{cm}^2$ では約1.9倍、また $\sigma_0=15\text{kg}/\text{cm}^2$ では約2.1倍の値を示している。図-8は、 $\sigma=5.0\%$ における上水平。室直線位

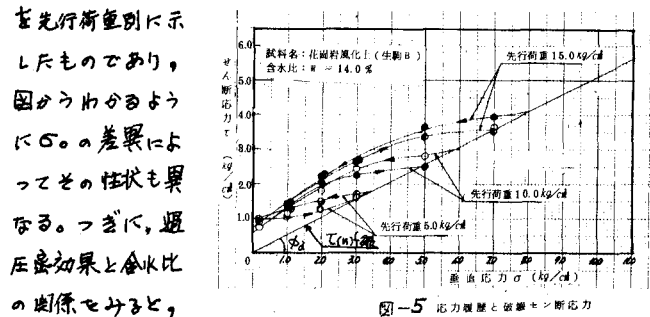


図-5 応力履歴と破壊セン断応力

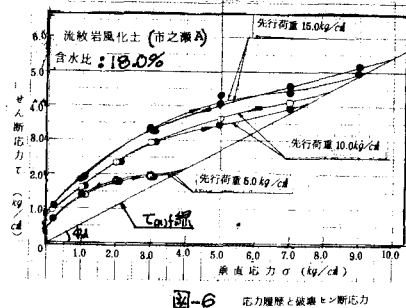


図-6 応力履歴と破壊セン断応力

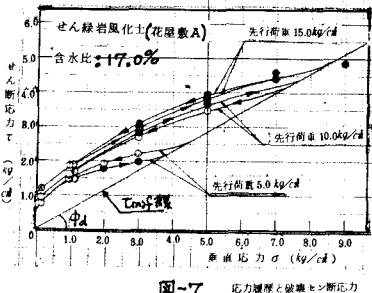


図-7 応力履歴と破壊セン断応力

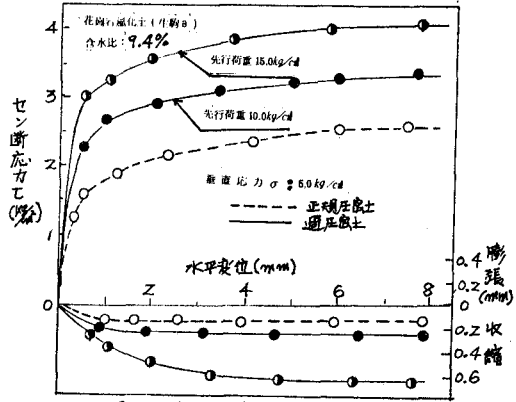


図-8 て、室・水平変位曲線例

を先行荷重別に示したものであり、図からわかるようにどの差異によってその性状も異なる。つぎに、過圧密効果と含水比の関係をみると、各試料とも自然含水比付近でその効果は多少よいようであるが、それ以上の差異は認められない（流紋岩系。せん綠岩風化砂質土の種々な含水比における試験結果は前面の都合上割愛）。ただし、ここで留意すべきは、ある過圧密比以下ではその効果はさくわざでないことを示すものである。このようすによると過正規化された風化砂質土强度指数C_c中で表現するとはむずかしい。図-9は、マサ土(W₀=14.0%)のS(せん断強さ)、 τ_d 、 σ_d および σ_0 の4者の相互関係を示したもので、図からわかるように、 σ_d が同じであっても応力履歴次第では異なる。過去、不飽和土などのせん断試験報告のうち、供試体を動的あるいは静的に締め成形した後、締め成形室（先行荷重）以下の応力条件でせん断試験を行なうC_c中を示してある。これは、図-10のA線、B線のように、過正規化された範囲のせん断試験結果を示すものであり、風化砂質土の強度を十分に表わし得るものとはいえないであろう。この限界点 σ_0 中の値を一的に設計へ適用すると困らうと理解できるように、過大な設計せん断強さになりうることも考えられる。上述の二つから、せん断試験結果には応力履歴条件を明記する必要がある。

4. あとがき

風化砂質土の応力履歴条件とせん断強さについて述べたが、以上の結果からこの種の土について現場的にみると、軸圧が十分な構造物ほどより堅固であることが理解できよう。なお、浸水が予想される場合は別途の考慮を必要とすることを付記する。

参考文献

例えば、D.A.W.Bishop and K.G.Eldin: The effect of stress History on the Relation between σ and Porosity in sand, Proc. 3rd Int. Conf. on S.M.F.E. Vol.1 pp.100~105, 1953

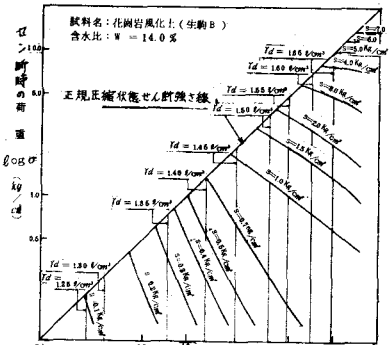
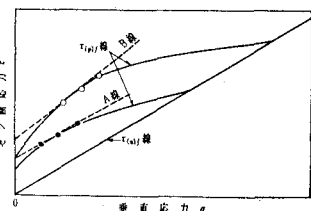
図-9 τ_d 、 σ_d および σ_0 の相互関係

図-10 セン断強さの説明